Մեխանիկա

58, No.1, 2005

Механика

УДК 539.3

ДИФРАКЦИЯ ПЛОСКОЙ СДВИГОВОЙ ВОЛНЫ НА ПОЛУБЕСКО-НЕЧНОЙ ТРЕЩИНЕ В ПЬЕЗОЭЛЕКТРИЧЕСКОМ ПРОСТРАНСТВЕ Григорян Э.Х., Джилавян С.А.

է.Խ Գրիգորյան, Ս.Հ. Ջիլավյան

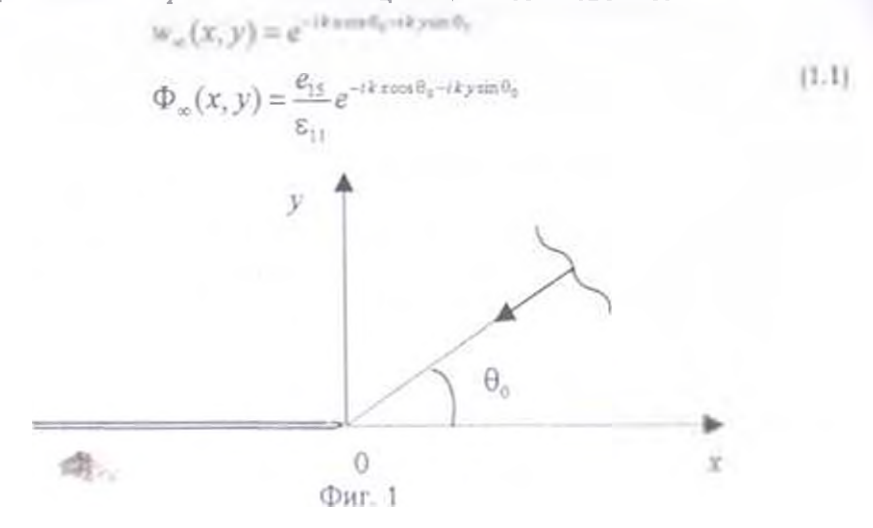
Պինգով լեկտրական տարածությանում սահցային հարթ ալիքի դիֆրակցիան կիսաանվերջ ճարի վրա

Այիուտանցամ դիտարկվում է անվերջությումից կիասանվերջ ճաքի վրա ընկնալ տաեքի ծայր այիֆ ունկցիմակ որական ապատարանան դիֆրակզիան այիկուկրկարական ապատարանան Խմդիքը քերվան է վիներ — Հուիֆի խանկցիմակ հավասարման (ուժան Մասացված են անդավոլիայի այիկումները այիկումին իրակարական դարտի սրանանիրի իրադարին իրադարանան արկարացին իրադարական արկարադարանան արկարադարանը (միրկայացումները։ Ճույց է արկած մակերևութային էլենրորատանգական ալիքի առվայությունը

F.Kh. Grigorynn, S.H. Jilavyan Diffraction of a Plan Sheur Wave on Semi-Infinite Crack in a Piezoelectric Space

В работе рекскотрена дафракция сдантовой поской полим надающей из беской чисти на полубескомечную тренцину в пьезолектрическом пространстви. Задача сводятся к решению функционального уравновия Винера-Хопфа. Получены распредолени перемещения наприжения потенциала и составляющей вектора видукции электрического поля в пьезолюетрического поля в пьезолюетрического поля в окрачающей вектора индукции электрического поля в окрачающей вектора индукции электрического поля в окрачающей вектора индукции электрического поля в окрачающей поставляющей вектора индукции электрического поля в окрачающей показано палачия поверхноствой электроупругой волим.

1. Рассмотрим пьезоэлектрическое пространство—пьезоэлектрик класса били гексагональной симметрии, отнесенное к декартовой системя координат Охуг, когда среда имеет полубесконечную трещину в плоскости Охг при x < 0 (фиг. 1). Пусть из бесконечности, под углом θ_0 к плоскости грещины $\{0 < \theta_0 < \pi/2\}$, распространяется плоская волна сдвига со следующими значениями амплитудных составляющих перемещения и электрического потенциала, соответственно:



Отметим, что учитывается гармоническая зависимость от времени всех составляющих электроупругого поля—временной множитель $e^{-i\omega t}$, t— вараметр времени, ω —частота колебаний. Здесь $k=\omega/c$ —волноное число, $c=\sqrt{c_{14}(1+x)/\rho}$ —скорость распространения сдвиговой электроушругой волны, $x=e_{15}^*/c_{44}\epsilon_{11}$ —коэффициент электромеханической связи пьезоэлектрика, c_{44} , ϵ_{11} , e_{15} —упругая, диэлектрическая и пьезоэлектрическая постоянные пьезоэлектрического пространства, соответствению, а ρ —влотность.

Пьезоэлектрическая среда находится в условиях антиплоской леформации. Для определения амплитуд перемещения и электрического потенциала имеем следующую систему уравнений [1]:

$$\frac{\partial^2 w}{\partial x^2} + \frac{\partial^2 w}{\partial y^2} + k^2 w = 0,$$

$$\frac{\partial^2 \Phi}{\partial x^2} - \frac{\partial^2 \Phi}{\partial y^2} + k^2 \frac{e_{15}}{\epsilon} w = 0$$
(1.2)

На берегах трещины для напряжения о... имеем условие

$$\sigma_{yz} = c_{44} \frac{\partial w}{\partial y} + e_{15} \frac{\partial \Phi}{\partial y} = 0 \quad \text{при} \quad y = \pm 0, \ x < 0 \tag{1.3}$$

а для электрического потенциала и составляющей вектора электрической индукции —

$$\Phi(x,y)\big|_{y=+0} = \Phi(x,y)\big|_{y=-0} : D_2(x,y)\big|_{y=+0} = D_2(x,y)\big|_{y=-0}, \quad \infty < x < \infty \quad (1.4)$$

TAE
$$D_2(x, y) = e_{15} \frac{\partial w}{\partial y} - \epsilon_{11} \frac{\partial \Phi}{\partial y}$$
.

Введем функции

$$u(x, y) = w(x, y) - w_{x}(x, y)$$

$$\varphi(x, y) = \Phi(x, y) - \Phi_{x}(x, y)$$
(1.5)

Тогда для напряжения 🚭 получим формулу

$$G_{yz} = c_{44} \frac{\partial w}{\partial y} + e_{-1} \frac{\partial \Phi}{\partial y} = c_{44} \frac{\partial u}{\partial y} + e_{-5} \frac{\partial G}{\partial y} - ik c_{44} (1 + a) \sin \theta_0 e^{-ik x \cos \theta_0 - ik y \sin \theta_0}$$

$$(1.6)$$

а для определения функций u(x,y), $\phi(x,y)$ из (1.2) нолучим следующую систему уравнений:

$$\frac{\partial^{2} u}{\partial x^{2}} + \frac{\partial^{2} u}{\partial y^{2}} + k^{2} u = 0$$

$$\frac{\partial^{2} \varphi}{\partial x^{2}} + \frac{\partial^{2} \varphi}{\partial y^{2}} + k^{2} \frac{\epsilon_{15}}{\epsilon_{11}} u = 0$$
(1.7)

Введем функции $q'(x) = q(x)\theta(x)$, $\psi''(x) = \psi(x)\theta(-x)$

$$\sigma_{y},(x,0) = q'(x)$$
 (1.8)

$$u(x,+0) - u(x,-0) = \psi(x)$$
 (1.9)

т.е. q'(x) — напряжение при y=0, а $\psi^-(x)$ представляет разницу перемещений на $y=\pm 0$, $\theta(x)$ — известная функция Хевисайда.

Применяя интегральное преобразование Фурье по переменной х к уравнениям (1.7), получим

$$\frac{d^2 \overline{u}}{dx^2} - (\sigma^2 - k^2) \overline{u} = 0$$

$$\frac{d^2 \overline{\phi}}{dx^2} - \sigma^2 \overline{\phi} + k^2 \frac{u}{\varepsilon_{11}} \overline{u} = 0$$
(1.10)

TAE
$$\vec{u}(\sigma, y) = \int_{-\infty}^{\infty} u(x, y)e^{i\sigma x}dx$$
: $\phi(\sigma, y) = \int_{-\infty}^{\infty} \phi(x, y)e^{i\sigma x}dx$

Из (1.8), (1.9) имея в виду (1.6), применив преобразование Фурье, получим следующие условия:

$$q'(\sigma) = c_{-1} \frac{\partial \pi}{\partial y} \bigg|_{y=0} + e_{15} \frac{\partial \sigma}{\partial y} \bigg|_{y=0} - 2\pi i k c_{-1} (1+\alpha) \sin \theta_0 \delta(\sigma - k \cos \theta_0)$$
 (1.11)

$$\Psi(\sigma) = u(\sigma, +0) - u(\sigma, -0) \tag{1.12}$$

 $\delta(\sigma)$ — функция Дирака.

Чтобы выполнялись условия уходящей волны, принимается, что $\gamma(\sigma) = \sqrt{\sigma^2 - k^2} \to |\sigma|$ при $|\sigma| \to \infty$, и $\sqrt{\sigma^2 - k^2} = -i\sqrt{k^2 - \sigma^2}$. Для выбора такой ветви двузначной функции $\gamma(\sigma)$ следует провести в комплексной плоскости $\alpha = \sigma + i\tau$ разрезы до бесконечности от точки $\sigma = k$ в верхней полуплоскости и от точки $\sigma = -k$ в нижней полуплоскости, т.е. действительная ось обходит точки вствления: -k сверху, а k — снизу [2]. Тогда принимая во внимание условия

$$\frac{d\bar{u}}{dy}\bigg|_{y=0} = \frac{d\bar{u}}{dy}\bigg|_{y=0} \cdot \frac{d\bar{\phi}}{dy}\bigg|_{y=0} = \frac{d\bar{\phi}}{dy}\bigg|_{y=0} = \bar{\phi}(\sigma, -0)$$

ограниченное и представълющее уходящую волну решение системы (1.10) имеет вид

$$u\left(\sigma,y\right) = \begin{cases} -Ae^{\gamma y} & \text{при } y < 0\\ Ae^{-\gamma y} & \text{при } y > 0 \end{cases}$$
 (1.13)

$$\overline{\phi}(\sigma, y) = \begin{cases} -\frac{e_{15}}{\varepsilon_{11}} A\left(e^{\gamma y} - e^{|\sigma|y}\right) & \text{при } y < 0 \\ \frac{e_{15}}{\varepsilon_{11}} A\left(e^{-\gamma y} - e^{-|\sigma|y}\right) & \text{при } y > 0 \end{cases}$$

$$(1.14)$$

В силу (1.12) очевидно, что

$$A(\sigma) = \frac{1}{2}\overline{\Psi}(\sigma) \tag{1.15}$$

Из условия (1.11) получим уравнение относительно $A(\sigma)$ и $q^*(\sigma)$

$$c_{44}A(\sigma)\left((1+x)\sqrt{\sigma^2-k^2}-x|\sigma|\right)+\overline{q}^*(\sigma)+$$

$$+2\pi i k c_{44}(1+x)\sin\theta_0\cdot\delta(\sigma-k\cos\theta_0)=0$$
(1.16)

Прежде чем приступить к решению уравнения (1.16), рассмотрим интересный частный случай, когда пьезоэлектрическая среда имеет бесконечную трещину — трещина занимает всю плоскость Oxz. Тогда следует в уравнении (1.16) принять $q^+(\sigma) = 0$ (т.е. $\sigma_{vz} = 0$ при y = 0, $-\infty < x < \infty$) и определяя $A(\sigma) = 2\pi A_0 \delta (\sigma - k \cos \theta_o)$, где

$$A_{0} = \frac{\sin \theta_{0}}{\sin \theta_{0} - i \frac{2e}{1 + e^{2}} \cos \theta_{0}}$$
(1.17)

Из (1.13), (1.14), применяя обратное преобразование, имея в виду (1.1), (1.5), получим решение этой частной задачи. Так, для амплитуды перемещения получим

$$w(x,y) = e^{-ikx\cos\theta_0 - iky\sin\theta_0}$$
 при $y > 0$ (1.18)

на берегах трещины

$$w(x,y) = (1 \pm A_0)e^{-x}$$
 при $y = \pm 0$.

Волновое поле при y>0 состоит из падающей волны и отраженной а при y<0 — только из проходящей волны, обусловленной пьезоэффектом. Как и следовало ожидать, в случае x=0 (отсутствие пьезоэффекта) при y>0 y=0

Для амплитуды электрического потенциала получим y > 0

$$\Phi(x,y) = \frac{e_{15}}{\varepsilon_{11}} e^{-iky\sin\theta_0} + A_1 e^{iky\sin\theta_0} - A_2 \frac{e_{15}}{\varepsilon_{11}} e^{-ikx\cos\theta_0 - ky\cos\theta_0}$$
при $y < 0$ (1.19)

$$\Phi(x,y) = (1 - A_0) \frac{15}{\varepsilon_{11}} e^{-ik x \cos \theta_0 - ik y \sin \theta_0} - 1_0 \frac{1}{\varepsilon_{11}} e^{-ik x \cos \theta_0 - ik y \sin \theta_0}$$

на берегах трещины
$$y=\pm 0$$
 $\Phi(x)=\frac{\varepsilon_{15}}{\varepsilon_{11}}e^{-ia\cdot x\cos \omega_{5}}$.

Волновое поле для электрического потенциала при y > 0 состоит из падающей и отраженной воли, при y < 0 — из проходящей. Наличие локализованной волны (последние члены и ныражениях (1.19)) обусловлено падающей волной и особенностями уравнений влектростатики.

2. Вернемся к решению поставленной задачи о полубесконечной трещине. Уравнение (1.16) можно свести к функциональному уравнению Випера-Хопфа относительно $\overline{\psi}$ (σ) и \overline{q} (σ)

$$\frac{\sigma_{-}}{2}\overline{\Psi}(\sigma)\sqrt{\sigma^{2}-k^{2}}\overline{K}(\sigma)+\overline{q}^{*}(\sigma)+$$

$$+2\pi i k \sigma_{-}(1+x)\sin\theta_{0}\delta(\sigma-k\cos\theta_{0})=0$$
(2.1)

где

$$\overline{K}(\sigma) = 1 + \varepsilon - \frac{\varepsilon |\sigma|}{\sqrt{\sigma^2 - k^2}}$$
 (22)

здесь $\overline{K}(\sigma) \to 1$ при $|\sigma| \to \infty$.

Функция $\sqrt{\sigma^2-k^2}\,\overline{K}\,(\sigma)=(1+\varpi)\sqrt{\sigma^2-k^2}-\varpi\,|\sigma|$ имеет нули, только если $\sigma=\pm\sigma_n$ где

$$\sigma_n = k \frac{1+2}{\sqrt{1+2}} > k \tag{2.3}$$

Действительная ось обходит точку $\sigma = -\sigma_n$ сверху, а $\sigma = \sigma_n$ снизу, тем самым обеспечивая условие уходящей волны.

Для решения функционального уравнения (2.1), факторизуем функцию $\sqrt{\sigma^2-k^2} \; K \; (\sigma) \;$ представив ее в виде

$$\sqrt{\sigma' - k'} K(\sigma) = \sqrt{\sigma + k} K^{-}(\sigma) \sqrt{\sigma - k} K^{-}(\sigma)$$

$$\overline{K}(\sigma) = K^{+}(\sigma) K^{-}(\sigma)$$
(2.4)

r.e.

где функция $K^-(\alpha)$ регулярна и не имеет пулей при ${\rm Im}\,\alpha>0$, а $K^-(\alpha)$ регулярна и не имеет нулей при ${\rm Im}\,\alpha<0$, $\alpha=\sigma+i\tau$. Здесь

$$\overline{K}^{-}(\sigma) = \exp(F^{-}(\sigma)), \quad F^{-}(\sigma) = \int_{0}^{\infty} F(x)e^{i(\sigma-i0)x}dx$$

$$\overline{K}^{-}(\sigma) = \exp(F^{-}(\sigma)), \quad F^{-}(\sigma) = \int_{0}^{\infty} F(x)e^{-i(\sigma-i0)x}dx \tag{2.5}$$

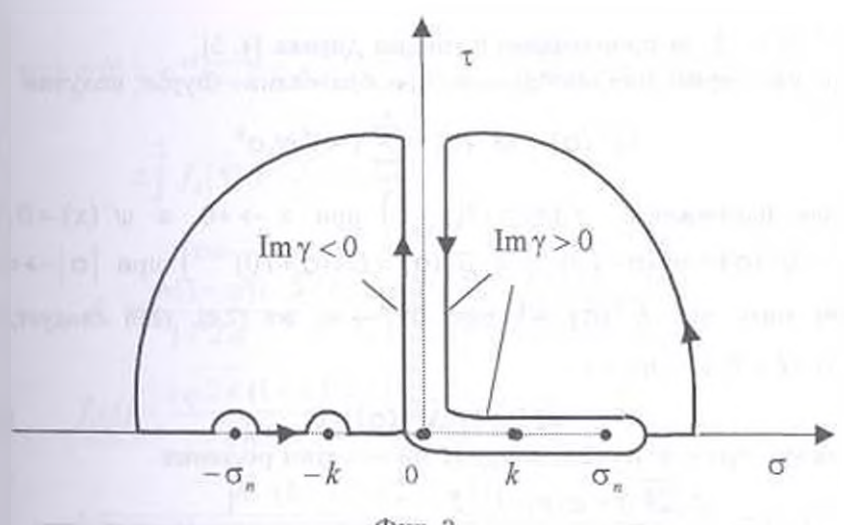
$$F(x) = \frac{1}{2\pi} \int \ln \left(K(\sigma) \right) e^{-i\sigma x} d\sigma = \frac{1}{2\pi} \int \ln \left(1 + e^{-\frac{e^2 |\sigma|}{\sqrt{\sigma^2 - k^2}}} \right) \cdot e^{-i\sigma x} d\sigma$$

При $|\sigma| \to \infty$ $\ln(\overline{K}(\sigma)) = O(\sigma^{-2})$, эначит F(x) – непрерывная функция

и при x=0 имеет конечное значение, и следовательно, $F^*(\sigma) \to \frac{1}{\sigma \pm i0}$

при $|\sigma| \to \infty$ $K^*(\alpha)$, $K^*(\alpha)$ стремятся к единице при $|\alpha| \to \infty$ в своих областях регулярности.

Вычисли K (σ) методом контурного интегрирования, рассматривая при этом комплексную плоскость с разрезами, ноказанными на фиг 2. Замыкая контур интегрирования в верхней полуплоскости, с помощью леммы Жордана, получим



Фиг. 2

$$\overline{K}^{-}(\sigma) = \frac{\sigma - \sigma_n}{\sigma - k} \exp\left(\frac{1}{\pi} \int_0^k \arctan\frac{\alpha s}{(\alpha + 1)\sqrt{k^2 - s^2}} \cdot \frac{ds}{s - (\sigma - i0)}\right)$$

$$\overline{K}^{+}(\sigma) = \overline{K}^{-}(-\sigma) \tag{2.6}$$
As where B by the sum of $\frac{1}{m} = \frac{1}{m} - i\pi \delta(s - \sigma)$

Надо иметь в виду, что $\frac{1}{s-(\sigma-i0)} = \frac{1}{s-\sigma} - i\pi\delta(s-\sigma)$.

Здесь и в дальнейшем апалитическое продолжение функции о в комплексной плоскости представляется в виде

$$|\alpha| = \begin{cases} \alpha & \text{при } \text{Re}\alpha > 0 \\ -\alpha & \text{при } \text{Re}\alpha < 0 \end{cases}$$
 (2.7)

Приступим теперы к решению функционального уравнения (2.1). Имея в виду (2.4), а также что

$$2\pi i \delta(\sigma - k \cos \theta_0) = \frac{1}{\sigma - k \cos \theta_0 - i0} - \frac{1}{\sigma - k \cos \theta_0 + i0}$$
$$f(x)\delta(x) = f(0)\delta(x)$$

уравнение (2.1) сводится к уравнению

$$\overline{M}^{-}(\sigma) = \overline{\Psi}^{-}(\sigma) \sqrt{\sigma - k} \overline{K}^{-}(\sigma) + \frac{2\sqrt{2k} (1 + \alpha) \sin \theta_{0} / 2}{K^{+}(k \cos \theta_{0}) (\sigma - k \cos \theta_{0} - i \theta)} - \frac{2\sqrt{2k} (1 + \alpha) \sin \theta_{0} / 2}{K^{+}(k \cos \theta_{0}) (\sigma - k \cos \theta_{0} + i \theta)} - \frac{2\overline{q}^{+}(\sigma)}{c_{44} \sqrt{\sigma + k} \overline{K}^{-}(\sigma)} = M^{+}(\sigma)$$
(2.8)

Методика решения уравнения (2.8) та же, что и в [3]. Применив к (2.8) обратное преобразование Фурье, получим $M^+(x) = M^-(x)$ ($-\infty < x < \infty$), которое может иметь место только, если

$$M'(x) = M'(x) = \sum_{k=0}^{n} m_k \delta^{(k)}(x)$$

где $\delta^{(k)}(x) = k$ -ая производная функции Дирака [4, 5]. Теперь уже, применив обобщенное преобразование Фурье, получим

$$\overline{M}^{-}(\sigma) = \overline{M}^{-}(\sigma) = \sum_{k=0}^{n} (-1)^{k} m_{k} \sigma^{k}$$
 (2.9)

Так как напряжение $q^-(x) = O\left(x_*^{-2}\right)$ при $x \to +0$, а $\psi^-(x) = 0$ при x = 0, $\psi^-(\sigma) = o\left((\sigma - i0)^{-1}\right)$ и $q^+(\sigma) = O\left((\sigma + i0)^{-1/2}\right)$ при $\sigma^- \to \infty$ С учетом того, что $\overline{K}^-(\sigma) \to 1$ при $\sigma^- \to \infty$, из (2.8), (2.9) следует, что $m_k = 0$ ($k = 0, 1, \dots, n$), т.е.

$$M^{+}(\sigma) = M^{-}(\sigma) = 0$$
 (2.10)

Таким образом, из (2.8) ввиду (2.10) получим решения

$$\overline{q}^{*}(\sigma) = -\frac{2\sqrt{2k}(1+x)\sin\theta_{0}/2}{\overline{K}^{*}(k\cos\theta_{0})} \cdot \frac{1}{\sqrt{\alpha-k}(\alpha-k\cos\theta_{0}-10)\cdot\overline{K}^{*}(\sigma)}$$

$$\overline{q}^{*}(\sigma) = \frac{\sqrt{2k}(1+x)\sin\theta_{0}/2}{\overline{K}^{*}(k\cos\theta_{0})} \cdot \frac{\overline{\alpha+k}\,\overline{K}^{*}(\sigma)}{\sigma-k\cos\theta_{0}+10}$$
(2.11)

Следовательно, решение поставленной задачи, т.е. выражения амплитуд перемещения и потенциала электрического поля, имея в виду (1.1), (1.5), (1.13), (1.14), а также (1.15), представляется в виде

$$w(x,y) = e \qquad \pm \frac{1}{2\pi} \int_{-\infty}^{\infty} A(\sigma)e^{-\gamma^2\sqrt{\sigma^2-k^2}} e^{-r\alpha x} d\sigma \qquad (2.12)$$

$$\Phi(x,y) = \frac{e_{13}}{\varepsilon_{11}} e^{-\frac{1}{2}(\sigma^2 - \delta^2)} \int A(\sigma) \cdot \left(e^{-\frac{1}{2}(\sigma^2 - \delta^2)} - \frac{1}{2}(\sigma^2 - \delta^2)\right) d\sigma$$
 (2.13)

при y > 0 или y < 0, соответственно. Здесь

$$A(\sigma) = -\frac{\sqrt{2k}(1+\alpha)\sin\theta_0/2}{K^*(k\cos\theta_0)\sqrt{\sigma-k}(\sigma-k\cos\theta_0-i0)K(\sigma)}$$
(2.14)

Тогда выражения индукции $D_2(x,y)$ и напряжения $\sigma_{11}(x,y)$ представляются в виде

$$D_2(x, y) = -\frac{1}{2\pi} \int |\sigma| A(\sigma) e^{-\pi i t} e^{-\pi i t} d\sigma$$
 (2.15)

$$\sigma_{xx}(x,y) = c_{xx}(1+x)\frac{\partial w}{\partial y} - \frac{e_{xx}}{\varepsilon_{xx}}D_2(x,y)$$
 (2.16)

Проводя в комплексной влоскости разрезы по линиям $-k-i\tau$. $k+i\tau$ и $i\tau$ $(0<\tau<\infty)$ обходя точки $\sigma=k\cos\theta_0$ и $\sigma=\sigma_n$ снизу, а $\sigma=-\sigma_n$ сверху и замыкая контур интегрирования в верхней полуплоскости, для амплитуды перемещения на берегах трещины $(x<0), y=\pm0)$ из (2.12) получим

$$w(x,\pm 0) = e^{-ikx\cos\theta_0} \pm A_{\tau}e^{-ikx\cos\theta_0} \pm e^{-\frac{1}{4}ix} \int f_1(\tau) \cdot e^{\tau x} d\tau \pm \pm \int_0^{\infty} f_2(\tau) \cdot e^{x\tau} d\tau \pm A_n e^{-i\sigma_p x}$$
(2.17)

PAT

$$A = \frac{\mathbf{z}(1+\mathbf{z})i}{1+2\mathbf{z}} \frac{K^*(\sigma_n)\sin\theta_n/2}{K^*(k\cos\theta_0)} \frac{\sqrt{2k(\sigma_0+k)}}{k\cos\theta_0-\sigma_0}$$

$$f(\tau) = \frac{i\sqrt{2k} (1+x)^2 \sin \theta_o / 2}{\pi K^2 (k \cos \theta_o)}$$

$$\frac{K^2 (k+i\tau) \cdot (2k+i\tau) \cdot \sqrt{\tau}}{\left(2k \sin^2 \theta_o / 2+i\tau\right) \left(x^2 k^2 - \tau (1+2x)(2ki-\tau)\right)}$$
(2.19)

$$\frac{\mathbf{z}(1+\mathbf{z})\sqrt{2}\mathbf{k}\cdot\sin\theta_{0}/2}{\pi K^{*}(k\cos\theta_{0})} \frac{K^{*}(\imath\tau)\cdot\sqrt{k+\imath\tau}\tau}{(k\cos\theta_{0}-\imath\tau)((1+\mathbf{z})^{2}k^{2}+\tau^{*}(1+2\mathbf{z}))}$$

Из (217) следует, что полновое поле на берегах грещины складывается из порций падающей и отраженной на верхнем (y = +0) или проходящей на вижнем (y = +0) берегах трещины, соответственно, и дифрагированной объемной сдниговой воли, а также из неполновой части и поверхносткой волны. Наличие последних двух воли и проходящей волны обусловлено пьезоэффектом — характерным свойством пьезоэлектрической среды. В случае x = 0 (изотровное пространство) решение совпадает с приведенным в [2] решением.

На берегах трещины из (2.15) получим следующее выражение для этнухции:

$$D_{2}(x,0) = -e_{15}k\cos\theta_{0}A_{1}e^{-ik_{1}x\cdot x} - e_{15}\sigma_{n}A_{n}e^{-i\tau x} - e_{15}e^{-it} \times \times \int_{0}^{\infty} f_{1}(\tau)\cdot(k+i\tau)e^{-t}d\tau + \frac{e_{15}(1+2\epsilon)i}{2\epsilon}\int_{0}^{\infty} f_{2}(\tau)\sqrt{k^{2}+\tau^{2}}e^{\tau x}d\tau, \quad x<0$$
(2.20)

Как видно из (2.20), волновое поле состоит как из поверхностных волн с разными волновыми числами — $k\cos\theta_{i,j}$ σ_{ij} , k_{ij} так и из неволновой части

Асимитотические представления амплитуд перемещения и индукции при $x \to -\infty$ имеют вид

$$w(x, \pm 0) = (1 \pm A_0) e^{-ikx\cos\theta_0} \pm A_n e^{-i\sigma_n x} \pm e^{i\left(\frac{\pi}{4} - kx\right)} \times \left(\frac{a}{|\pi kx|^{3/2}} + O(|kx|^{-5/2})\right) \pm \frac{a}{1 + a} \left(\frac{b}{(\pi kx)^2} + O(|kx|^{-3})\right), \quad x \to -\infty$$
(2.21)

$$D_{\tau}(x,0) = -e_{15}k\cos\theta_{0}A_{0}e^{-ikx\cos\theta_{0}} - e_{15}\sigma_{n}A_{n}e^{-i\sigma_{n}x} - e_{15}ke^{\frac{1}{2}\frac{1}{2}} \times \left(\frac{a}{|\pi k x|^{3/2}} + O(|kx|^{-5/2})\right) + e_{15}k\left(\frac{ib}{(\pi k x)^{2}} + O(|kx|^{-3})\right), \quad x \to -\infty$$

$$a = \frac{i\pi\sqrt{2}(1+x)^{2}\overline{K}^{-}(k)}{2x^{2}\sin\theta_{0}/2 \cdot \overline{K}^{-}(k\cos\theta_{0})}, \quad b = \frac{\sqrt{2(1+x)}\pi\sin\theta_{0}/2}{\cos\theta_{0} \cdot \overline{K}^{-}(k\cos\theta_{0})}$$

Здесь было учтено, что $K^{z}(0) = \sqrt{1+az}$

Проводя в комплексной плоскости разрезы по линиям $k+i\tau$, $-i\tau$ $(0<\tau<\infty)$, обходя точку $\sigma=k\cos\theta_0$ снизу и замыкая контур интегрирования в нижней полуплоскости, для амплитуды индукции D_2 на y=0 при x>0 из (2.15) получим

$$D_{-}(x,0) = \frac{c_{15}\sqrt{2k}(1+x)\sin\theta}{\pi \overline{K}(k\cos\theta_{0})} \left[\frac{\tau e^{-\tau x} d\tau}{\sqrt{k+i\tau}(i\tau+k\cos\theta_{0})\overline{K}(-i\tau)} \right] (2.23)$$

и следующую асимптотику

$$D_{\gamma}(x,0) = e_{15}k \left(\frac{ib}{(\pi k x)^2} + O((kx)^{-1})\right)$$
 upu $x \to \infty$ (2.24)

Как видно. $D_2(x,0)$ при x>0 состоит только из неволновой части. Из (2.20) и (2.23) получим следующие асимптотические представления для составляющей вектора индукции около вершины трещины

$$D_{2}(x,0) = -e_{15}(k\cos\theta_{0}A_{0} + \sigma_{\pi}A_{\pi}) + O(|x|^{1/2}) \text{ при } x \to -0$$

$$D_{2}(x,0) = -e_{15}k \frac{1}{K} \frac{1}{(k\cos\theta_{0})\sqrt{\pi k x}} + O(1) \text{ при } x \to \div 0$$
(2.25)

Как следует из (2.13) $\Phi(x,0) = -1$

Из (2.11) очевидно, что $\sigma_{\rm int}(x,0)=q^-(x)=0$ при x<0 , а при x>0

$$\sigma_{yz}(x,0) = \frac{\sqrt{2k(1+\alpha)c_{-}\sin\theta_{0}/2}}{2\pi K'(k\cos\theta_{0})} \times \int_{-\infty}^{\infty} \frac{\left(\sqrt{\sigma^{2}-k'}(\alpha+1)-\alpha\sigma^{2}\right)e^{-i\sigma x}d\sigma}{\sqrt{\sigma^{2}-k}(\sigma-k\cos\theta_{0}+i0)K}(\sigma)}$$
(2.26)

Проводя в комплексной плоскости ($\alpha = \sigma + i \tau$) разрезы по липиям $-k - i \tau$, $k + i \tau$ и $-i \tau$ ($0 < \tau < \infty$), замыкая контур интегрирования в нижней полуплоскости, обходя точку $\sigma = k \cos \theta_0$ сверху, получим

$$\sigma_{yz}(x,0) = \frac{\sqrt{2k} (1+x) c_{zz} \sin \theta_0 / 2}{\pi \overline{K}^{-} (k \cos \theta_0)} \times \left[\int_{0}^{\infty} \frac{e^{-\tau x} (1+x) \sqrt{(k+i\tau)^2 - k^2} e^{ikx} d\tau}{\sqrt{2k+i\tau} (i\tau + 2k \sin^2 \theta_0 / 2) K (-k-i\tau)} \right] + \int_{0}^{\infty} \frac{x\tau e^{-t} d\tau}{\sqrt{k+i\tau} (ik \cos \theta_0 - \tau) \overline{K}^{-} (-i\tau)} - i(1+x) k c_{zz} \sin \theta_0 e^{-ikx \cos \theta_0}}$$
(2.27)

Волновое поле состоит из порций объемной сдвиговой волны и неволновой части, а также надающей волны.

Асимптотика для напряжения $\sigma_{vs}(x,0)$ при $x \to \pm 0$ имеет нид

$$\sigma_{yz}(x,0) = -\frac{i\sqrt{2}(1+w)kc_{\pm}e^{i\pi/4}\sin\theta_{\phi}/2}{K'(k\cos\theta_{\phi})\cdot\sqrt{\pi kx}} + O(1)$$
 (2.28)

3. Пользуясь подходом, изложенным в [6, 7], наидем распределение веремещения в пьезоэлектрической среде (принимая $x = r \cos \theta$, $y = r \sin \theta$).

В случае $0 < \theta < \pi/2$, принимая

$$\lambda = \sigma \cos \theta - i \sin \theta \sqrt{\sigma^2 - k^2}, \ \sigma(\lambda) = \lambda \cos \theta + i \sin \theta \sqrt{\lambda^2 - k^2}$$
 (3.1)

полагая, что при выборе однозначной ветви $\sqrt{\alpha^2-k^2}$ разрезы в комплексной плоскости ($\alpha=\lambda+i\,\tau$) проведены по линиям $k+i\,\tau$, $-k-i\,\tau$ ($0<\tau<\infty$), и контур интегрирования замыкается в нижней полуплоскости, обходя точки $\lambda=k\cos(\theta+\theta_0)$, $\lambda=k\cos(\theta-\theta_0)$ снизу, где $\lambda=k\cos(\theta\pm\theta_0)$ нули функции $\sigma(\lambda)-k\cos\theta_0$, с помощью леммы Жордана получим

$$w(r,\theta) = e^{-ikr\cos(\theta-\theta_0)} - \frac{1}{2\pi} \int_0^\infty \frac{e^{-i\left(\alpha r - \frac{3}{2}\pi\right)}}{\sqrt{\alpha^2 - k^2}} \times \left(A(\sigma) \cdot \sqrt{\sigma^2 - k^2} + A(\sigma_2)\sqrt{\sigma^2 - k^2}\right) d\tau$$
(3.2)

TARE $\alpha = -k - i \tau$, $\sigma_{i}(\alpha) = \alpha \cos \theta - i \sin \theta \sqrt{\alpha^{2} - k^{2}}$

Волновое поле состоит из падающей волны и дифрагированной объемной сданговой волны.

В случае $\pi/2 < \theta < \pi$ принимается

 $\lambda = -\sigma\cos\theta + i\sin\theta\sqrt{\sigma^2 - k^2}$, $\sigma(\lambda) = -\lambda\cos\theta - i\sin\theta\sqrt{\lambda^2 - k^2}$ (3.3) Теперь уже проведем разрезы в комплексной плоскости ($\alpha = \lambda + i\tau$) не только по линиям $k + i\tau$, $-k - i\tau$, по и по линии $k\sin\theta + i\tau$ для функции $|\sigma|$. Контур интегрирования замыкается в верхней полуплоскости. При $\pi/2 < \theta < \pi - \theta_0$ $\sigma(\lambda) - k\cos\theta_0$ не имеет нулей, но при $\pi - \theta_0 < \theta < \pi$

 $\lambda = -k\cos(\theta + \theta_c)$ является единственным нулем этой функции, и контур интегрирования обходит эту точку снизу. Функция $A(\sigma)$ имеет простой полюс в точке

$$\lambda = -\lambda_n = -\sigma_n \cos\theta + i \sin\theta \sqrt{\sigma_n^2 - k^{-1}} \,, \quad \text{ecam} \quad \text{toadko} \quad \text{Re} \left(-\lambda_n - k \sin\theta \right) > 0 \,,$$

т.е. в случае $\pi - \operatorname{arctg} \frac{\sigma_n}{k} < \theta < \pi$. Для амплитуды перемещения получим

$$w(r,\theta) = w_0(r,\theta) + A_n e^{-ir\lambda_n} + \frac{1}{2\pi} \int_0^{\infty} \frac{e^{-i(\alpha r + \frac{\pi}{2})}}{\sqrt{\alpha^2 - k^2}} \times$$

$$\times |A(\sigma) \sqrt{\sigma - k^2} + A(\sigma_1)| |\sigma_r - k^2| d\tau - \frac{2\pi (1 + \pi)\sin\theta_0/2}{\pi K (k\cos\theta_0)} \times (3.4)$$

$$\times \int_0^{\infty} \frac{e^{-r}K^*(\sigma)(\sigma + k)\sigma\sqrt{\sigma - k} d\tau}{\sqrt{(k\sin\theta + i\tau)^2 - k^2} (\sigma - k\cos\theta_0)((1 + 2\pi)(\sigma^2 - k^2) - \pi^2 k^2)}$$

$$\text{где } \alpha = k + i\tau, |\sigma_1(\alpha)| = -\alpha\cos\theta + i\sin\theta\sqrt{\alpha^2 - k^2}.$$

$$w_0(r,\theta) = e^{-ikr\cos(\theta - \theta_0)} \text{ при } \pi/2 < \theta < \pi - \theta_0$$

$$w_0(r,\theta) = e^{-ikr\cos(\theta - \theta_0)} + A_0 e \text{ при } \pi - \theta_0 < \theta < \pi$$

$$\text{Отметим. Что } |\sigma| = \begin{cases} \sigma & \text{при } \text{Re } \sigma > k\sin\theta \\ -\sigma & \text{при } \text{Re } \sigma < k\sin\theta \end{cases}$$

Волновое поле состоит из падающей волны, отраженной волны (если

$$\pi - \theta_0 < \theta < \pi$$
), поверхностной полны (при $\pi - \operatorname{arctg} \frac{\sigma_0}{k} < \theta < \pi$).

дифрагированной объемной волны а также волны, обусловленной пьезоэффектом и распространяющейся от поверхности грещины в среду. Таким образом, обнаружена обусловленная пьезоэффектом поверхностная волна в пьезоэлектрической среде с полубесконечной трещиной при наличии падающей электроупругой волны. Однако, в случае бесконечной трещины, как следует из (1.18) поверхностная волна не возникает при данной постановке задачи.

В случае $\theta = \pi - \theta_0$ точка $\lambda = k$ является и простым полюсом подынтегральной функции и точкой встиления. В этом случае функцию перемещения можно представить и виде

$$w(r, \pi - \theta_0) = e^{ikr\cos 2\theta_0} - \frac{1}{2\pi} \int \left[\frac{A(\sigma)\sqrt{\sigma^2 - k^2}}{\sqrt{\lambda^2 - k^2}} - \frac{2(\lambda - k)}{2(\lambda - k)} \right] \times$$
(3.6)

Как следует и г решения (2.12), в случае y<0, т.е. $-\pi<\theta<0$, подынтегральную функцию следует заменить на $-A(\sigma)$, а θ на $-\theta$, и возникающая проходищая волна (при $-\pi<\theta<-\pi+\theta_n$) обусловлена пьезоэффектом.

При больших значениях r (дальние от вершины трещины зоны) получим следующие асимптотические представления амилитуды перемещения при $r\,k \to \infty$:

при
$$\theta = \theta_0 - \pi$$

$$w(r) = (1 - A_0 / 2)e^{ikr} - A_n e^{ir\sigma_n \left[\cos\theta_0 + i\frac{\pi}{1+\pi}\sin\theta_0\right]} + e^{ikr}O\left((rk)^{-1/2}\right)$$
при $-\pi/2 < 0 < \pi/2$
(3.8)

$$\mathbf{w}\left(r,\theta\right) = e^{-ikr\cos(\theta-\theta_0)} + e^{i(kr+\pi)-1} \left(B(\theta) \frac{1}{\sqrt{\pi kr}} + O\left((rk)^{-3/2}\right)\right)$$

$$\mathbf{npw}\left(\theta = \pi - \theta_0\right)$$

$$w(r) = e^{ik_r \cos 2\theta_0} + \frac{A_0}{2} e^{ik_r} + A_n e^{ir\sigma_n \cos \theta_0 + i - \sin \theta_n} + e^{ik_r} O((rk)^{-1/2})$$
(3.10)

ври
$$\pi/2 < \theta < \pi : (\theta = \pi - \theta_{-})$$

$$w(r,\theta) = w_0(r,\theta) + A_n e^{-irr_n} + e^{-irr_n} + e^{-irr_n} + e^{-ikr \sin \theta} \left[B(\theta) \frac{1}{\sqrt{\pi k r}} + O((rk)^{-1}) \right]$$

$$+ e^{ikr \sin \theta} \left[B_n(\theta) \frac{1}{\pi k r} + O((kr)^{-1}) \right]$$
(3.11)

где для $w(r,\theta)$ имеют место формулы (3.5)

PAG

Асимитотическое представление индукции $D_1(r,\theta)$ при $-\pi/2 < \theta < \pi/2$ имеет вид

$$D_2(r,\theta) = e_{15}k \left(\frac{ib\cos 2\theta}{(\pi k r)^2} + O((kr)^{-3})\right), \ kr \to \infty$$
 (3.12)

а в случае $\pi/2 < \theta < \pi$ или $-\pi < \theta < -\pi/2$

$$D_{2}(r,\theta) = -e_{15}k\cos\theta_{0}e \qquad e \qquad -$$

$$-e_{15}k\cos\theta_{0}e \qquad e \qquad e^{-kr\sin(\theta)} \times$$

$$\times \left[\frac{e^{-\frac{1}{2}}a}{(\pi kr)^{3/2}} + O\left((kr)^{-5/2}\right)\right] + e_{15}k\left[\frac{ib\cos 2\theta}{(\pi kr)^{2}} + O\left((kr)^{-1}\right)\right], kr \to \infty$$
(3.13)

Асимптотические представления составляющей D_{θ} вектора индукции и напряжения $\sigma_{\theta x}$ вблизи вершины трещины имеют вид

$$D_0 = -e_{15}g(\theta)(\pi k r)^{-1/2} + O(1), \quad \sigma_{0r} = -c_{44}g(\theta)(\pi k r)^{-1/2} + O(1) \quad r \to 0$$
$$g(\theta) = \frac{i k \sqrt{2} (1+x)e^{i\pi/4}}{K^4 (k \cos \theta_0)} \sin \frac{\theta_0}{2} \cdot \cos \frac{\theta}{2}$$
(3.14)

АИТЕРАТУРА

- 1. Балакирев М.К., Гилинский И.А. Волны в пьезоэлектриках. Новосибирск: Наука. 1982. 240 с.
- 2. Ноба Б. Метод Винера Хопфа. М.: Мир. 1962. 279 с.
- 3. Григорян Э.Х. Передача нагрузки от кусочно-однородной бесконечной накладки к упругой полуплоскости.//Уч. записки ЕГУ. 1979. 3. С.29-34.
- 4. Шилов Г.Е. Математический анализ. II спецкурс. М.: Наука. 1965. 327 с.
- 5. Справочная мат. библиотека. Функ. анализ. М.: Наука. 1972. 283с.
- б. Григирян Э.Х., Саркисян А.В. Дифракция сдвиговых электроупругих поверхностных воли на крае электропроводящего упругого сдоя.//Изв. НАН Арм. Механика. 1999. Т. 52. №1. С.30-39.
- Агаян К.А., Григорян Э.Х., Джилавян С.А. Дифракция сдвиговой плоской волны в упругом пространстве с нолубескопечным упругим включением. //Изв. НАН Арм. Механика, 2003. Т. 56. №4. С.3-17.

Ереванский госуниверситет

Поступила в редакцию 23.11.2004